

题目	名称	Geographical Location(%)		总计	χ^2	<i>p</i>
		East Asia	North America			
Tumor Resection 铸块 お鑄-MRI 錫出 株 植 媽 婦 璧 风 漢 构 困 級 cohort 2 - 淹 呼 株 植 媽 級 cohort 3 滑 虹 株 植 媽 級	GTR	412(55.45)	42(51.85)	454(55.10)	36.441	0.000**
	NTR	290(39.03)	20(24.69)	310(37.62)		
	STR	41(5.52)	19(23.46)	60(7.28)		
总计		743	81	824		

* $p < 0.05$ ** $p < 0.01$

分析建议

四

卡方分析研究X(定类)与Y(定类)的差异，比如两种药物(旧药和新药)的治疗效果(治愈和未治愈)差异。

第一：分析X分别与Y之间是否呈现出显著性(p 值小于0.05或0.01)；

第二：如果呈现出显著性；具体对比选择百分比(括号内值)，描述具体差异所在；

第三：对分析进行总结。

【特别提示：卡方分析共有Pearson卡方、连续校正Yates卡方和Fisher卡方等统计量；需要结合R×C交叉类型，总样本数，以及期望频数情况选择对应的统计量；这一选择过程已经被SPSS AU自动化处理，详细选择过程可参阅帮助手册】

智能分析

四

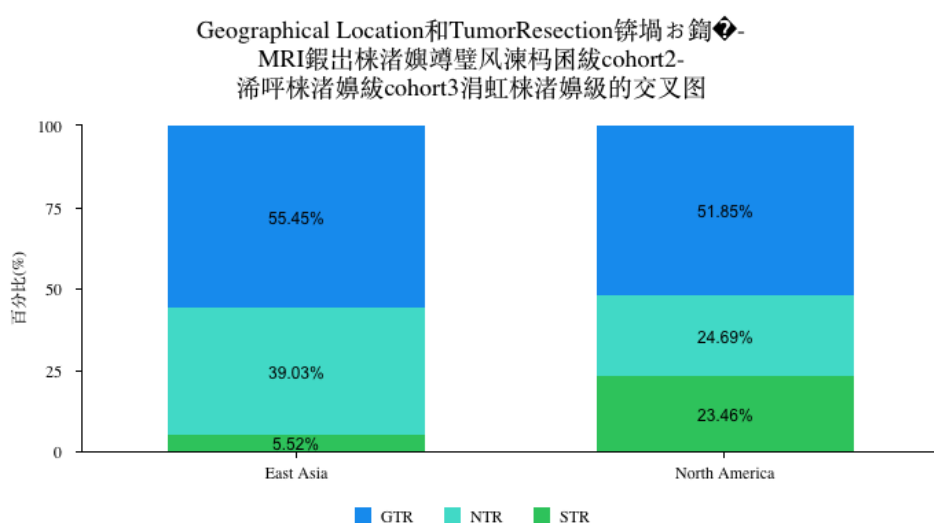
从上表可知，利用卡方检验(交叉分析)去研究Geographical Location对于TumorResection锛堉 o 鈕◆-MRI鋟出棟渚嬪嬪璧风凍杩困綫cohort2-浠呼棟渚嬪嬪cohort3涓虹棟渚嬪嬪共1項的差异关系【独立性】，从上表可以看出：不同Geographical Location样本对于TumorResection锛堉 o 鈕◆-MRI鋟出棟渚嬪嬪璧风凍杩困綫cohort2-浠呼棟渚嬪嬪cohort3涓虹棟渚嬪嬪共1項呈现出显著性($p < 0.05$)，意味着不同Geographical Location样本对于TumorResection锛堉 o 鈕◆-MRI鋟出棟渚嬪嬪璧风凍杩困綫cohort2-浠呼棟渚嬪嬪cohort3涓虹棟渚嬪嬪共1項均呈现出差异性。

总结可知：不同Geographical Location样本对于Tumor Resection锋搥 o 鑷MRI蝦出棟淮娘嬌風凴柵困綱cohorts2-淮呼棟淮娘嬌cohorts3退虹棟淮娘嬌全部均呈现出显著性差异。

【特别提示：卡方分析共有Pearson卡方、连续校正Yates卡方和Fisher卡方等统计量；需要结合R*C交叉类型，总样本数，以及期望频数情况选择对应的统计量；这一选择过程已经被SPSS AIU自动化处理，详细选择过程可参阅帮助手册】

Tumor Resection 鎏堦 お鑑◆-MRI 銛出棟渚媧遭璧风凍桟困綾 cohort2- 滂呼棟渚媧綾 cohort2

堆积柱形图 柱形图 堆积条形图 条形图 数据



Geographical Location和TumorResection
MRI鋤出株渚嫗尊壁风凍枴困綾cohort2-
涌呼株渚嫗綾cohort3涓虹株渚嫗級的交叉图

Aa 样式

卡方检验统计量过程值

项	名称	值
Pearson卡方	②	36.441($p = 0.000^{**}$)
连续校正Yates卡方	②	36.441($p = 0.000^{**}$)
Fisher卡方	②	-
E>=5	②	6(100.00%)
1<=E<5	②	0(0.00%)
E<1	②	0(0.00%)
Cnt	②	6
n	②	824

- 【1】The SPSSAU project (2023). SPSSAU. (Version 23.0) [Online Application Software]. Retrieved from <https://www.spssau.com>.
- 【2】Clegg F. Introduction to statistics. III: Correlation, chi-square and the choice of statistical procedure.[J]. Br J Hosp Med, 1988, 40(5).
- 【3】颜虹,徐勇. 医学统计学.第3版[M].人民卫生出版社,2017.